



INSTITUTUL DE ARHEOLOGIE „VASILE PÂRVAN”

MATERIALE ȘI CERCETĂRI ARHEOLOGICE
SERIE NOUĂ, SUPPLEMENTUM III

IN MEMORIAM
EUGEN NICOLAE

EDITAT DE
ROXANA DOBRESKU, AUREL VÎLCU

BUCUREȘTI
2025

COPERTA: Dan Iulian MĂRGĂRIT

**MCA SERIE NOUĂ
SUPPLEMENTUM III**

www.mcajournal.ro

**Tehnoredactor: Ofelia COȘMAN
Secretar de redacție: Dana COSTIN**

Descrierea CIP a Bibliotecii Naționale a României

In memoriam Eugen Nicolae / ed.: Roxana Dobrescu, Aurel Vîlcu -

Târgoviște: Cetatea de scaun, 2025

Conține bibliografie

ISBN 978-606-537-820-9

I. Dobrescu, Roxana (ed.)

II. Vîlcu, Aurel (ed.)

902

929

**Toate articolele publicate în *Materiale și Cercetări Arheologice* sunt *peer-reviewed*.
Materiale și Cercetări Arheologice este indexată în următoarele baze de date:
Persée, Copernicus, ERIH PLUS, Scopus, CEEOL, EBSCO și DOAJ.**

Acest volum a fost editat cu sprijinul financiar al Institutului de Arheologie „Vasile Pârvan”.



(1955–2024)

SUMAR / SOMMAIRE / CONTENTS

Aurel VÎLCU <i>In memoriam</i> Eugen Nicolae.....	9
Georges DEPEYROT Eugen Nicolae et cinq siècles de numismatique Eugen Nicolae and five centuries of numismatics	31
Adina BORONEANȚ, Monica MĂRGĂRIT One man’s trash is another man’s treasure – the case of the osseous debitage waste from Drăgușeni – <i>Ostrov</i>	39
David BACIU, Adrian BĂLĂȘESCU Preliminary study of the faunal material discovered in an Early Eneolithic feature from Alexandria – <i>Limonagiul</i> settlement (Teleorman County). 2019–2021 campaigns.....	59
Radu BĂJENARU Poveste din trecut. Despre descoperirea depozitului de topoare de la Sinaia A tale from the past. The discovery of the Sinaia axe-hoard	83
Gabriel Mircea TALMAȚCHI Două tezaure de semne monetare descoperite în zona de coastă a Mării Negre din teritoriul istro-pontic Two hoards of monetary signs discovered in the Black Sea coastal area of the Istro-Pontic area.....	99
Pierre DUPONT Transport amphoras of “Milesian” type: originals and local imitations.....	111
Theodor ISVORANU Monede din perioada romană imperială descoperite în zona Orheiului (Republica Moldova) Roman imperial coins from the Orhei area (Republic of Moldova)	119
Lucian MUNTEANU, Lăcrămioara-Elena ISTINA Noi informații despre tezaurul monetar roman imperial de la Măgirești (jud. Bacău) (CHRE 16297) New information on the Roman imperial monetary hoard from Măgirești (Bacău County) (CHRE 16297)	139
Mihai DIMA Monede romane dintr-o colecție constituită la Ostrov, jud. Constanța A collection of Roman coins found at Ostrov, Constanța County.....	159
Constantin C. PETOLESCU <i>Cohors II Dacorum</i> . Două trupe auxiliare romane cu număr de ordine identic <i>Cohors II Dacorum</i> . Two Roman auxiliary troops with identical numerical identifiers	173
Radu ARDEVAN, Alin PRALEA Monete antice din colecția lui Ioan Mihályi de Apșa Ancient coins from the collection of Ioan Mihályi de Apșa	177
Mircea DABÎCA, Theodor ISVORANU Cercetări arheologice la Histria, sectorul Sud (2018–2024). Descoperiri monetare Archaeological research at Histria, the South sector (2018–2024). Coin finds.....	189
Adriana PANAITÉ Roman roads in Moesia Inferior in the Black Sea coast area	213
Marius BLASKÓ, Zsuzsanna KOPECZNY, Róbert GINDELE, Gergely SZENTHE, Ștefan POPA, Erwin GÁLL Dating grave no. 97 from Vălcani in the light of numismatic and radiocarbon research – contributions to the chronology of H.1.....	237

Aurel-Daniel STĂNICĂ	
Între bizantini și tătari. Cimitirul de la Isaccea – <i>Bagola</i>	
Between Byzantines and Tatars. The necropolis from Isaccea – <i>Bagola</i>	249
Oana DAMIAN	
Despre prezența Hoardei de Aur în situl bizantin de la Nufăru (județul Tulcea)	
The Golden Horde and the Byzantine archaeological site at Nufăru (Tulcea County)	295
Ana BOLDUREANU	
Un fragment din tezaurul de monede tătărești descoperit la Inești, Raionul Telenești, Republica Moldova	
A fragment of the Tatar coin hoard discovered in Inești, Telenești district, Republic of Moldova.....	303
Monica DEJAN, Ana BOLDUREANU	
Considerații despre câteva monede tătărești descoperite în zona Cetății de Scaun a Sucevei	
(a doua jumătate a secolului XIV)	
Considerations about a few Tatar coins discovered in the Suceava Fortress area	
(second half of the 14 th century).....	313
Letiția NISTOR, Adrian BĂTRÎNA	
Vestigiile bisericii lui Alexandru cel Bun de la Mănăstirea Bistrița (județul Neamț). Propuneri de reconstituire	
arhitecturală	
The remains of the Bistrița monastery (Neamț County) founded by Alexander the Good. Proposals for	
architectural reconstructions.....	319
Lilia DERGACIOVA, Alexandr ALEXANDROV	
Matrița sigilară a unui demnitar din sfatul domnesc al lui Ștefan II, domnitorul Țării de Jos a Moldovei	
The seal of a dignitary member in the Princely Council of Stephen II, Prince of Lower Moldova	337
Ioan-Aurel POP, Alexandru SIMON	
Bani pentru cruciadă: Rapoarte sieneze din primăvara anului 1476	
Money for the Crusade: Sieneze Reports from Spring 1476.....	341
Alexandru SIMON	
Documente și monede: <i>Petrusian</i> și lancu de Hunedoara	
Documents and coins: <i>Petrusian</i> and John Hunyadi	349
Gabriel CUSTUREA, Ana-Maria VELTER	
Câteva monede rare din colecția muzeului constănțean	
A few rare coins in the collection of the Constanța Museum	357
Florin Gabriel PETRICĂ, Minodora CÂRCIUMARU, Ovidiu CÎRSTINA, Adrian IONIȚĂ	
Observații asupra a două morminte descoperite în necropola bisericii „Sfânta Vineri” de la	
Curtea Domnească din Târgoviște	
Remarks on two burials in the cemetery of the Sfânta Vineri church from the Royal Court of Târgoviște.....	363
Gabriel VASILE	
Despre un posibil ritual funerar la populațiile medievale din Muntenia prin prisma a doi indivizi descoperiți	
în cimitirul bisericii „Sf. Vineri” de la Curtea Domnească din Târgoviște	
On a possible funerary ritual of Medieval populations in Wallachia as indicated by two individuals buried	
in the cemetery of the Sfânta Vineri church from the Royal Court of Târgoviște	373
Adriana GAȘPAR	
Șoapte din trecut. Fragmente ceramice cu inscripții în limba osmană descoperite la Timișoara	
Whispers from the past. Pottery sherds with Osmanic language inscriptions from Timișoara	391
Daniela MARCU-ISTRATE, Cristian-Florin ANGHELESCU, Roxana BUGOI	
Introducere în studiul sticlei de fereastră descoperite la Catedrala Romano-Catolică și Palatul Episcopal	
din Alba Iulia	
An introduction to the study of the window glass from the Roman-Catholic Cathedral and the Bishop’s Palace	
in Alba-Iulia.....	409

Radu Gabriel DUMITRESCU	
Un nou lot din tezaurul de la Craiova – <i>Strada Nicolae Bălcescu</i> (Sec. XVII–XVIII)	
A new part of the Craiova hoard – <i>Nicolae Bălcescu Street</i> (17 th –18 th centuries).....	433
Mariana ŞLAPAC	
The contribution of the ottomans to the construction of the Vauban-type fortress in Kiliya.....	449
Corneliu Bogdan Nicolae BELDIANU, Camelia Silvia BELDIANU	
<i>Tsuba</i> cu scene evocatoare. O formă de manifestare a unei arte medalistice avant la lettre în Japonia perioadei Edo?	
<i>Tsuba</i> with evocative scenes. An avant la lettre manifestation form of medal art in Japan	463
Abrevieri / Abbreviations / Abbreviations	481

DESPRE UN POSIBIL RITUAL FUNERAR LA POPULAȚIILE MEDIEVALE DIN MUNTENIA PRIN PRISMA A DOI INDIVIZI DESCOPERIȚI ÎN CIMITIRUL BISERICII „SF. VINERI” DE LA CURTEA DOMNEASCĂ DIN TÂRGOVIȘTE

Gabriel VASILE

Institutul de Arheologie „Vasile Pârvan”; e-mail: gabriel.vasile@iabvp.ro

Keywords: *The Royal Court, Târgoviște, cemetery, 16th–17th centuries, pathological changes, anthropology*

Abstract: *Recent archaeological excavations carried out in the area of the medieval cemetery of the “Sfânta Vineri” Church (Târgoviște, Princely Court) brought to light two individuals, oriented west–east and laid on their backs, who present a distinctive funerary inventory. The anthropological analysis revealed the presence of a mature adult female of above-average height (M.7) and a child at the borderline between early and middle childhood (M.45). Both individuals display a series of skeletal particularities, especially pathological changes. Among these, the cranial morphologies (caries sicca) and postcranial lesions (lytic, hypertrophic, sclerotic) of the adult individual drew our attention, leading us to believe that it is very likely that this person suffered from venereal syphilis. Moreover, it is possible that the infection with bacteria of the Treponema genus caused the biparietal osteodystrophy also observed on the skull of this individual. Although not directly related, this condition is sometimes associated with syphilis. In the case of the child, a number of pathological changes were observed on the skull (cribra orbitalia, serpens endocrania symmetrica) and vertebral column (hypervascularisation and periosteal reaction on the thoraco-lumbar vertebral bodies), suggesting that the individual most likely suffered from tuberculosis. If the proposed diagnoses are correct (in the absence of archaeogenetic, elemental, isotopic, or imaging studies), it is possible that these pathological conditions represented the cause of death for the two individuals.*

Cuvinte cheie: *Curtea Domnească, Târgoviște, cimitir, secolele XVI–XVII, modificări patologice, antropologie*

Rezumat: *Cercetări arheologice recente efectuate în perimetrul cimitirului medieval al Bisericii „Sfânta Vineri” (Curtea Domnească din Târgoviște) au scos în evidență doi indivizi, orientați vest–est, în decubit dorsal, care prezintă un inventar funerar deosebit. Analiza antropologică a relevat prezența unui adult matur de sex feminin, cu o statură supramijlocie (M.7) și a unui copil aflat la granița dintre prima și a doua copilărie (M.45). Ambii indivizi prezintă o serie de particularități la nivelul scheletului, în special modificări de ordin patologic. Dintre acestea, ne-au atras atenția morfologiile craniene (caries sicca) și leziunile postcraniene (litice, hipertrofice, sclerotice) ale individului adult, care ne fac să credem că este foarte probabil ca acesta să fi suferit de sifilis veneric. De asemenea, nu este exclus ca infecția cu bacterii din genul Treponema să cauzeze și osteodistrofia biparietală, prezentă și ea la nivel cranian și cu care, deși nu se află în relație directă, sifilisul este uneori asociat. În cazul copilului se remarcă o serie de modificări patologice la nivelul craniului (cribra orbitalia, serpens endocrania symmetrica) și coloanei vertebrale (hipervascularizație și reacții periostale pe corpurile toraco-lombare) care ne determină să considerăm că individul suferea, cel mai probabil, de tuberculoză. Dacă diagnosticul atribuit este corect (în lipsa unor studii de arheogenetică, elementale, izotopice sau imagistice), putem să ne gândim că aceste circumstanțe ar fi putut reprezenta cauza morții celor doi indivizi.*

INTRODUCERE

Timp de aproape patru secole, orașul Târgoviște a reprezentat principalul centru politic, economic și cultural al statului medieval Țara Românească. Conform documentelor și dovezilor arheologice, acest rol este relevat cel mai bine de Curtea Domnească, un ansamblu de monumente cuprinzând palate domnești, lăcașe de cult, turnuri de apărare, ziduri de incintă, precum și alte structuri construite. Peisajul ecleziastic al Curții Domnești cuprinde două arii funerare, localizate în interiorul zidurilor de incintă – în zona paraclisului domnesc și în jurul Bisericii „Sfânta Vineri” –, ambele lăcașe datând din secolul al XV-lea. În studiul de față, au fost analizate osemintele din două morminte descoperite în cimitirul medieval din jurul Bisericii „Sfânta Vineri”, investigate în campania arheologică din anul 2021 de către o echipă de cercetători din cadrul Complexului Național Muzeal „Curtea Domnească” din Târgoviște, condusă de arheologul expert dr. Florin Gabriel Petrică. Resturile scheletice aparțin unui individ adult (M.7) și unui copil (M.45), ambii orientați vest–est și depuși în decubit dorsal. Acestea aparțin orizontului funerar datat la sfârșitul secolului al XVI-lea – începutul secolului al XVII-lea. Atât diversitatea inventarului funerar asociat celor doi indivizi (o monedă de argint, un inel de bronz cu chaton, numeroase accesorii vestimentare și un obiect de fier asemănător unei lame de cuțit în cazul M.7; un vas de sticlă, un cercel de argint și un obiect mic de cupru în M.45), cât, mai ales, complexitatea realizării lor sau scopul pentru care au fost depuse în morminte¹, au constituit premise suficiente pentru o analiză antropologică detaliată a resturilor scheletice.

¹ Pentru o descriere detaliată a contextului arheologic al descoperirii ori pentru elemente de ritual funerar, vezi Petrică et alii 2025, în prezentul volum.

ANALIZA ANTROPOLOGICĂ A OSEMINTELOR

M.7.

Au fost recuperate resturile scheletice (osoase și dentare), relativ bine conservate și parțial reprezentate, ale unui subiect adult.

Scheletul este alcătuit, într-o mare măsură, din rămășițe din jumătatea superioară – lipsesc oasele de la bazin în jos, cu excepția unor fragmente din extremitățile proximale femurale, în special de pe dreapta. Deși craniul este puternic fragmentat, în special la nivelul calotei craniene, din care se păstrează cele mai multe resturi, a reușit să fie parțial restaurat. Din viscerocraniu au fost recuperate părți din zigomatice și maxile, precum și mandibula, cvasicompletă. Scheletului postcranian îi este caracteristic, de asemenea, gradul ridicat de fragmentaritate, îndeosebi la nivelul omoplaților, sternului și sectorului costo-vertebral. Claviculele, radiusul drept și câteva oase din scheletul mâinilor (patru carpiene, toate metacarpenele, șapte falange din rândul proximal, cinci intermediare și trei falange din rândul distal) sunt întregi. De asemenea, lipsește cea mai mare parte a bazinului.

Dentiția este definitivă. Au fost recuperați trei dinți inferiori, niciunul în alveolă ($C_{\#}$ stâng, un $Pm_{\#}$ și M_3 stâng).

Sexul antropologic a putut fi determinat, în principal, prin intermediul morfologiilor discriminante de la nivelul oaselor coxale (ram ischio-pubic îngust, sulcus preauricular larg – grad 1, Fig. 1²) și al craniului³ (creastă nucală – grad 2, proces mastoid și eminență mentală – grade 3), precum și pe baza aspectului general al oaselor (de dimensiuni relativ mici, subțiri, gracile)⁴. Toate caracteristicile observate ne indică un individ de sex feminin.

Estimarea vârstei la deces s-a dovedit a fi o operație foarte dificilă, atât din cauza lipsei pentru observație a celei mai mari părți din bazin, precum și a unor segmente suturale craniene. Fără îndoială că avem de a face cu un individ adult, evaluarea gradului de fuziune a extremității mediale claviculare⁵, ultima parte osoasă din corpul uman care fuzionează, indicându-ne o sudare completă, și, prin urmare, un individ cu o vârstă la deces plasată cel puțin în ultimii ani al celui de-al treilea deceniu de viață. Cu toate acestea, pentru aprecierea și mai exactă a vârstei la deces, am evaluat și gradul de obliterare a suturilor craniene⁶ din cele câteva sectoare suturale păstrate, în aspect endocranian. Am obținut următoarele scoruri: 1 = 1; 2 = 1; 3 = 3; 4 = X; 5 = 3; 6 = 1; 7 = X, care ne arată o asociere de suturi deschise (cu început de obliterare) și suturi complet închise. Prin urmare, conchidem că vârsta la deces este undeva între 39,4–45,2 ani, în categoria adulților maturi.

Din punct de vedere biometric, gradul extrem de ridicat de fragmentaritate a scheletului și lipsa celei mai mari părți din membrele inferioare nu ne-au permis decât efectuarea câtorva măsurători craniene⁷ și postcraniene⁸ (Tab. 1). Datele morfometrice ne indică un craniu neural lung, îngust, mezocran (mediu) și înalt, hipsi-metriocran. Parietalele sunt aplatizate, iar occipitalul este mijlociu. Mandibula este foarte îngustă intercondilar și intergonional și alungită, dolicoostenomandibulară. Postcranian se remarcă clavicule cu robusticități moderate și ulne eurolenice (mijlocii).

Statura scheletică⁹ a putut fi calculată cu ajutorul lungimii maxime a singurului os lung păstrat în întregime (radiusul drept) și are o valoare de 158,4 cm (supramijlocie).

Indicatorii stresului musculoscheletic¹⁰ relevă, la nivelul scheletului postcranian, cel mai adesea, morfologii entezice slab–mediu dezvoltate, expresii pronunțate ale unor activități cotidiene de mai mari intensități fiind vizibile doar la nivelul mușchiului deltoid, pe clavicule (Fig. 2) și pe humerusul drept (Fig. 3).

Din punct de vedere patologic, am identificat o gamă largă de modificări scheletice. O primă categorie o reprezintă bolile dentare. Dintre acestea, au fost observate depozite abundente de tartru (pe $C_{\#}$ - P_1 stângi, Fig. 4) și numeroase pierderi dentare antemortem (pe toți dinții maxilari, Fig. 5 și pe I_1 - I_2 , P_1 , M_1 - M_2 stângi și I_1 , probabil I_2 - $C_{\#}$ și M_1 - M_3 drepti, Fig. 6). Alte modificări patologice sunt cele articulare și, în particular, osteoartrita, care afectează exclusiv coloana vertebrală, manifestată prin osteofite (de mari dimensiuni, pe corpul axisului, Fig. 7 și de mărimi mai mici pe cinci corpuri vertebrale toraco-lombare) și prin suprafețe poroase (pe două corpuri cervicale, Fig. 8). Au fost identificate și boli infecțioase. La nivelul frontalului, au fost observați markeri de tipul *caries sicca* (Fig. 9). Pe solzul occipitalului,

² Fotografiile din cuprinsul articolului includ scări redată în centimetri, cu excepția fig. 4, exprimată în milimetri. La realizarea lor a contribuit colegul Cătălin Nicolae, căruia îi mulțumim și pe această cale.

³ Buikstra, Ubelaker 1994, p. 16–21.

⁴ Rösing *et alii* 2007; Ferembach *et alii* 1980.

⁵ Langley-Shirley, Jantz 2010, p. 573–574, 578; Scheuer *et alii* 2004, p. 250–251.

⁶ Meindl, Lovejoy 1985.

⁷ Bräuer 1988, p. 160–192; Martin 1928, p. 625–678.

⁸ Bräuer 1988, p. 193–232; Martin 1928, p. 1005–1052.

⁹ Ruff *et alii* 2012.

¹⁰ Mariotti *et alii* 2007.

Indici și dimensiuni	M.7
<i>Craniu</i> : 1. Lungime maximă (Go–Op)	177,7
2. Lățime maximă (Eu–Eu)	138,5
11. Indice cranian orizontal (9 : 1) x 100	77,9
20. Înălțime craniu (Po-B)	116,0
14. Indice vertico-longitudinal (20:1)	65,3
15. Indice vertico-transversal (20:8)	85,8
<i>Parietal</i> : 27. Arc sagital parietal (B–L)	130,0
30. Coardă sagitală parietală (B–L)	117,7
124. Indice parietal sagital (30 : 27) x 100	90,5
<i>Occipital</i> : 12. Lărgime occipital (Ast–Ast)	106,9
114. Indice parieto-occipital transversal (12 : 8) x 100	77,2
<i>Mandibulă</i> : 65. Lățime bicondilară (Kdl–Kdl)	108,4
65. Lățime bigoniacă (Go–Go)	78,8
68. Lungime corp mandibular (proiecție Pg–Go)	103,9
162. Indice mandibular (68 : 65) x 100	95,9
<i>Claviculă</i> : C1. Lungime maximă	136,4/136,3
C6. Perimetru la mijloc	34,0/34,0
Indice robustitate (C6 : C1) x 100	24,9/24,9
<i>Humerus</i> : H3. Lățime epicondilară	61,5/61,6
<i>Radius</i> : R1. Lungime maximă	–/227,0
<i>Ulnă</i> : U13. Diametru transversal (medio–lateral) subsigmoidian	22,6/21,3
U14. Diametru sagital (antero–posterior) subsigmoidian	26,0/25,1
Indice platolenie (U14 : U13) x 100	87,0/84,7

Tabelul 1. M.7. Indici și dimensiuni craniene și postcraniene (bilateral, mm).

Table 1. M.7. Cranial and postcranial indices and dimensions (bilateral, mm).

endocranian, și pe un fragment din aripa mică a sfenoidului am observat suprafețe poroase. Morfologii infecțioase au fost reperate și în segmentul postcranian (pe articulațiile coadelor – distal, pe humeruși, Fig. 3 și proximal, pe ulne, Fig. 10 –, pe spina scapulară stângă și pe tuberozitatea ischiatică stângă). De asemenea, individul prezintă și modificări cu substrat metabolic, exprimate prin subțierea simetrică a oaselor parietale, pe o suprafață de peste 50 mm în diametru, bilateral – osteodistrofie biparietală (Fig. 9; Fig. 11–15).

Au fost identificate numai câteva caractere non-metrice¹¹, atât la nivelul craniului (foramene parietale și foramene mastoide duble), cât și în segmentul postcranian (o apertură septală dreaptă, Fig. 3 și o tuberozitate radială dreaptă adâncită, Fig. 16). La nivelul dentiției nu am înregistrat niciun caracter discret, atât din cauza faptului că au fost puțini dinți pentru observație, cât, mai ales, pentru că prezentau modificări patologice. Din cauza distrugerii viscerocraniului, nu au putut fi înregistrate nici caractere morfoscopice craniofaciale.

Dintre indicatorii tafonomici, am înregistrat o serie de suprafețe osoase care prezintă colorații verzui: temporalul stâng (Fig. 13), două falange proximale de la mâini (Fig. 17), manubriul sternal (Fig. 18) și cel puțin un corp vertebral toracal.

¹¹ Mann *et alii* 2016; Hauser, De Stefano 1989.



Figura 1. Sulcus preauricular larg [M.7 – coxal stâng, medial].

Figure 1. Wide preauricular sulcus [M.7 – left coxal, medial].



Figura 2. Mușchi deltoizi, puternic dezvoltăți [M.7 – clavicule, inferior].

Figure 2. Strongly developed deltoid muscles [M.7 – clavicles, inferior].



Figura 3. Mușchi deltoizi puternic dezvoltăți (dreptunghi), leziuni hipertrofice distale (săgeți) și apertură septală dreaptă (cerc) [M.7 – fragmente humerale, anterior].

Figure 3. Strongly developed deltoid muscles (rectangle), distal hypertrophic lesions (arrows) and right septal aperture (circle) [M.7 – humeral fragments, anterior].



Figura 4. Depozite extinse de tartru dentar [M.7 – C_#, P₁ stângi].

Figure 4. Extensive dental calculus deposits [M.7 – LC_#, LP₁].



Figura 5. Pierderi dentare antemortem [M.7 – maxile, inferior].

Figure 5. Antemortem tooth loss [M.7 – maxillae, inferior].



Figura 6. Pierderi dentare antemortem [M.7 – mandibulă, superior].

Figure 6. Antemortem tooth loss [M.7 – mandible, superior].



Figura 7. Osteofite pe un corp cervical [M.7 – axis, anterior].

Figure 7. Osteophytes on a cervical body [M.7 – axis, anterior].



Figura 8. Porozitate pe un corp vertebral [M.7 – vertebră cervicală, superior].

Figure 8. Porosity on a vertebral body [M.7 – cervical vertebra, superior].

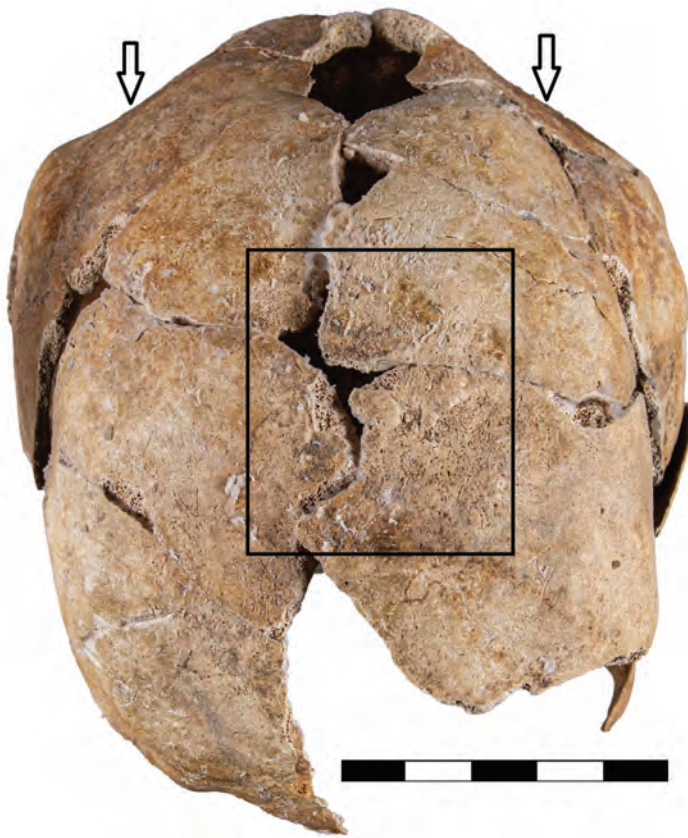


Figura 10. Leziuni litice severe pe procesele olecraniene [M.7 – ulne, proximal].

Figure 10. Severe lytic lesions on olecranon processes [M.7 – ulnae, proximal].

Figura 9. Leziuni de tip caries sicca (cerc) și osteodistrofie biparietală (săgeți) [M.7 – craniu, anterior].

Figure 9. Caries sicca (circle) and biparietal osteodystrophy (arrows) [M.7 – cranium, anterior].



Figura 11. Osteodistrofie biparietală [M.7 – craniu, posterior].

Figure 11. Biparietal osteodystrophy [M.7 – cranium, posterior].



Figura 12. Osteodistrofie biparietală [M.7 – craniu, lateral dreapta].

Figure 12. Biparietal osteodystrophy [M.7 – cranium, right side].



Figura 13. Osteodistrofie biparietală [M.7 – craniu, lateral stânga].

Figure 13. Biparietal osteodystrophy [M.7 – cranium, left side].



Figura 14. Porțiune bazală cu distrugeri [M.7 – craniu, inferior].

Figure 14. Damaged basal portion [M.7 – cranium, inferior].



Figura 15. Osteodistrofie biparietală [M.7 – craniu, superior].

Figure 15. Biparietal osteodystrophy [M.7 – cranium, superior].



Figura 16. Tuberozitate radială adâncită [M.7 – radius drept, medial].

Figure 16. Dimpled radial tuberosity [M.7 – right radius, medial].



Figura 17. Pete verzui rezultate din degradarea cuprului prezent în inventarul defunctului [M.7 – falange proximale de la mâini, palmar].

Figure 17. Greenish stains resulting from degradation of copper in the deceased's inventory [M.7 – proximal phalanges of the hands, palmar].



Figura 18. Pete verzui rezultate din degradarea cuprului prezent în inventarul defunctului [M.7 – manubriu sternal, anterior].

Figure 18. Greenish stains resulting from degradation of copper in the deceased's inventory [M.7 – sternal manubrium, anterior].

M.45.

Au fost recuperate resturile scheletice (osoase și dentare), foarte bine conservate și reprezentate, ale unui subiect subadult.

Din etajul cranian s-a păstrat cea mai mare parte a calotei (relativ fragmentată) și două fragmente din sfenoid. Viscerocraniul este absent, cu excepția unui fragment din mandibulă, care cuprinde trigonul mentonier. Neurocraniul nu a putut fi restaurat din cauza deformării unora dintre oasele componente. Din scheletul postcranian sunt prezente toate oasele lungi (lipsește câteva dintre epifize), oasele centurilor (cu câteva lipsuri și distrugerii la nivelul centurii scapulare drepte), sectorul costo-vertebral (cu distrugerii și lipsuri în sectorul cervical) și câteva oase din scheletul mâinilor (toate metacarpianele, cinci falange din rândul proximal și două falange din rândul intermediar; lipsesc oasele picioarelor).

Dentiția este mixtă. Au fost recuperați 12 dinți, atât în alveole, cât și liberi: șase lacteali (un incisiv lateral superior, un incisiv inferior, doi canini și doi molari) și șase definitivi (un incisiv central superior, un incisiv lateral superior, I₁ stâng, I₁ drept, P₁ stâng și M₁ stâng).

Pentru estimarea vârstei la deces, am recurs la secvența de formare, erupție și dezvoltare a dinților (lacteali și definitivi)¹² și la lungimea maximă a diafizelor oaselor lungi¹³. Dentiția ne indică o valoare a vârstei la deces de 6,0–7,0 ani, iar ecuațiile de regresie pentru oasele lungi, 6,3–6,7 ani. Prin urmare, conchidem că vârsta la deces este cuprinsă în intervalul 6,0–7,0 ani (copil, *infans* I).

Din punct de vedere biometric, am prelevat câteva măsurători craniene și postcraniene (Tab. 2), în baza aceluiași recomandări ca în cazul adultului din M.7. Datele morfometrice ne indică, în etajul cranian, un frontal cu margini ovale și ortometop, iar în etajul postcranian se remarcă o claviculă stângă de robusticitate moderată, un omoplat stâng brahimorf, humerus și euribrahii, ulne eurolenice, femure cu pilăstria nuli și eurimere și tibii euricnemice.

Indici și dimensiuni	M.45
<i>Frontal</i> : 1. Lățime frontală minimă (Ft–Ft)	89,5
2. Lărgime frontală minimă (Co–Co)	105,8
I1. Indice frontal transversal (9 : 10) x 100	84,6
26. Arc sagital frontal (N–B)	107,0
29. Coardă sagitală frontală (N–B)	95,8
I22. Indice frontal sagital (30 : 27) x 100	89,5
<i>Claviculă</i> : C1. Lungime maximă	82,6/–
C6. Perimetru la mijloc	20,0/–
Indice robusticitate (C6 : C1) x 100	24,2/–
<i>Omoplat</i> : O1. Lungime maximă	85,5/–
O2. Lățime maximă	58,4/–
Indice scapular (O2 : O1) x 100	68,3/–
<i>Humerus</i> : H1. Lungime maximă	169,1/169,5
H5. Diametru maxim la mijloc	12,4/12,2
H6. Diametru maxim la mijloc	10,1/10,1
Indice secțiune diafiză (H6 : H5) x 100	81,7/82,5
<i>Radius</i> : R1. Lungime maximă	119,9/122,1
<i>Ulnă</i> : U1. Lungime maximă	119,9/122,1

¹² Ubelaker 1978, p. 47, fig. 62.

¹³ Facchini, Veschi 2004, p. 93, tab. 2.

Indici și dimensiuni	M.45
U13. Diametru transversal (medio-lateral) subsigmoidian	134,2/136,3
U14. Diametru sagital (antero-posterior) subsigmoidian	26,0/25,1
Indice platolenie (U14 : U13) x 100	92,7/96,3
<i>Sacrum</i> : S5. Lățime antero-superioară	-/69,0
<i>Femur</i> : F1. Lungime maximă	229,5/229,7
F6. Diametru sagital (antero-posterior) la mijloc	14,1/14,5
F7. Diametru transversal (medio-lateral) la mijloc	14,8/15,0
F9. Diametru transversal (medio-lateral) subtrohanterian	18,9/19,7
F10. Diametru sagital (antero-posterior) subtrohanterian	17,4/17,7
F21. Lățime extremitate distală	49,2/50,6
Indice pilastric (F6 : F7) x 100	95,4/96,7
Indice platimeric (F10 : F9) x 100	92,3/90,0
<i>Tibie</i> : T1. Lungime maximă	186,2/187,2
T8. Diametru sagital (antero-posterior) la mijloc	16,6/16,6
T8a. Diametru sagital (antero-posterior) la nivelul fosei nutritive	17,3/18,0
T9a. Diametru transversal (medio-lateral) la nivelul fosei nutritive	15,5/16,5
Indice cnemic (T9a : T8a) x 100	89,4/91,7
<i>Peroneu</i> : P1. Lungime maximă	181,0/179,9

Tabelul 2. M.45. Indici și dimensiuni craniene și postcraniene (bilateral, mm).

Table 2. M.45. Cranial and postcranial indices and dimensions (bilateral, mm).

Statura scheletică¹⁴ a putut fi calculată cu ajutorul lungimilor maxime ale diafizelor tibiale și are o valoare de 104,9 cm.

Din punct de vedere patologic, am identificat modificări dentare (un depozit abundent de tartru pe un incisiv temporar inferior, ocluzal, subgingival), infecțioase (mici suprafețe periostitice active, pe diafizele femurale, tibiale și peroneale; hipervascularizație și reacții periostale pe cinci corpuri vertebrale toracale, Fig. 19, cinci lombare, Fig. 20, și unul sacral; morfologii de tip *serpens endocrania symmetrica* pe suprafața endocraniană a frontalului și parietalelor, însoțite de ușoare reacții periostale, Fig. 21) și metabolice (leziuni active de tip *cribra orbitalia*, pe plafonul orbitelor, de mai mare întindere pe stânga, Fig. 22).

Tot pe baza protocoalelor acelorași autori, ca în cazul scheletului din M.7, au fost înregistrate variante craniene (dehiscente timpanice) și postcraniene (fose Allen). În cazul dentiției, am utilizat un model de referință denumit *Arizona State University Dental Anthropology System*¹⁵, cu ajutorul căruia am putut înregistra doar câteva caracteristici prezente la nivelul primului molar definitiv inferior stâng: hipoconulid (mediu dezvoltat, grad 3), fovee anterioară (adâncitură slabă, grad 1) și model de șanțuri ocluzale (metaconulid și hipoconulid în contact, tip Y). Din cauza distrugerii viscerocraniului, nu au putut fi înregistrate caractere morfoscopice craniofaciale.

Dintre indicatorii tafonomici, am înregistrat o serie de suprafețe osoase care prezintă colorații verzui: omoplat stâng (Fig. 23), patru fragmente costale (Fig. 24), cinci fragmente vertebrale toracale (Fig. 25), ulna dreaptă (Fig. 26) și humeruşii (Fig. 27).

¹⁴ Visser 1998.

¹⁵ Scott *et alii* 2018; Turner II *et alii* 1991.



Figura 19. Hipervascularizație și reacții periostale [M.45 – corpuri vertebrale toracale, anterior].

Figure 19. Hypervascularization and periosteal reactions [M.45 – thoracic vertebral bodies, anterior].



Figura 20. Hipervascularizație și reacții periostale [M.45 – corpuri vertebrale lombare, anterior].

Figure 20. Hypervascularization and periosteal reactions [M.45 – lumbar vertebral bodies, anterior].



Figura 21. Morfologii de tip serpens endocrania symmetrica și reacție periostală [M.45 – parietal stâng, endocranian].

Figure 21. Serpens endocrania symmetrica and periosteal reaction [M.45 – left parietal, endocranial].



Figura 22. Leziuni active de tip cribra orbitalia [M.45 – frontal, inferior].

Figure 22. Active lesions of cribra orbitalia [M.45 – frontal, inferior].

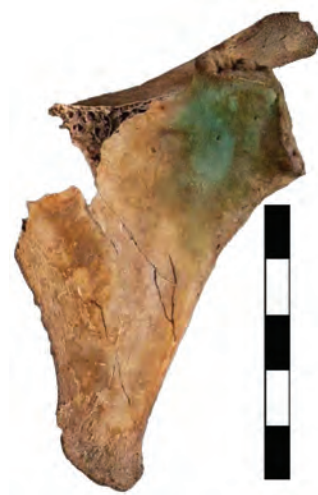


Figura 23. Pete verzui rezultate din degradarea cuprului prezent în inventarul defunctului [M.45 – omoplat stâng, anterior].

Figure 23. Greenish stains resulting from degradation of copper in the deceased's inventory [M.45 – left scapula, anterior].



Figura 24. Pete verzui rezultate din degradarea cuprului prezent în inventarul defunctului [M.45 – fragmente costale, inferior].

Figure 24. Greenish stains resulting from degradation of copper in the deceased's inventory [M.45 – rib fragments, inferior].



Figura 25. Pete verzui rezultate din degradarea cuprului prezent în inventarul defunctului [M.45 – corpuri vertebrale toracale].

Figure 25. Greenish stains resulting from degradation of copper in the deceased's inventory [M.45 – thoracic vertebral bodies].



Figura 26. Pete verzui rezultate din degradarea cuprului prezent în inventarul defunctului [M.45 – diafiză ulnară dreaptă, posterior].

Figure 26. Greenish stains resulting from degradation of copper in the deceased's inventory [M.45 – right ulnar diaphysis, posterior].

Figura 27. Pete verzui rezultate din degradarea cuprului prezent în inventarul defunctului [M.45 – epifiză humerală dreaptă, superior; diafize humerale, anterior].

Figure 27. Greenish stains resulting from degradation of copper in the deceased's inventory [M.45 – right humeral epiphyses, superior; humeral diaphysis, anterior].

DISCUȚII ȘI CONCLUZII

Deși cercetările arheologice au evidențiat existența la Târgoviște a peste 25 de cimitire medievale¹⁶, până în prezent a fost publicat un singur studiu antropologic¹⁷. În lucrarea de față, nu am urmărit analiza antropologică a unui cimitir sau a unui segment din acesta; pe baza rezultatelor studiului antropologic (cu accent pe modificările patologice întâlnite), am încercat să surprindem posibilitatea existenței unui ritual funerar medieval, plecând de la o potențială asociere între depunerea lângă cei decedați a unor piese deosebite de inventar funerar și suferințele acestora din timpul vieții. Concret, am avut în vedere atât semnificația inelului din bronz cu chaton, descoperit la mâna stângă a individului din M.7, cât și semnificația prezenței vasului de sticlă, poziționat în partea dreaptă a capului individului din M.45¹⁸.

Pentru aceasta, ne-am ajutat de câteva particularități întâlnite la cei doi indivizi analizați, îndeosebi de ordin patologic, nu foarte des întâlnite în materialele scheletice umane vechi. Astfel, la individul din M.7, un adult matur de sex feminin, cel mai probabil multipară¹⁹, cu o statură supramijlocie, au fost identificate macroscopic, la nivelul frontalului, pe linie mediană, morfologii de tip *caries sicca* (L = 57,83 mm; l = 37,61 mm). Acestea sunt atribuite unor infecții provocate de bacterii spirochete din genul *Treponema*, patogene la om. În literatura paleopatologică medicală²⁰ sunt descrise patru boli foarte asemănătoare, produse de *Treponema pallidum* cu diferitele ei subspecii. Trei dintre acestea sunt non-veneric: *T. pallidum* subsp. *pertenue* (responsabilă pentru pian), *T. carateum* (răspunzătoare pentru pintă) și *T. pallidum* subsp. *endemicum* (culpabil pentru bejel sau sifilisul endemic). *Treponema pallidum* subsp. *pallidum* produce atât sifilisul veneric, cât și sifilisul congenital, o formă specială a bolii, care se transmite de la mamă la făt în timpul sarcinii²¹.

Sifilisul ocupă un loc special în istoria medicinei, fiind cunoscut și sub numele de „marele imitator”²². Acest aspect face ca stabilirea cu exactitate a diagnosticului să reprezinte un deziderat foarte dificil, în special în contextul în care anumite tehnici nu ne sunt, momentan, la îndemână: examinarea leziunilor osoase cu ajutorul procedurilor imagistice (tomografie computerizată, raze X, micro-CT); detectarea ADN-ului spirochetei cu ajutorul metodelor de examinare moleculară (analiza ADN-ului)²³; analiza conținutului de mercur din oase (tehnica LA-ICP-MS)²⁴, verificând astfel dacă individul a fost supus unui tratament și, în caz afirmativ, cât timp organismul a fost expus la vapori toxici de mercur. Totuși, cu unele rețineri și ținând cont de faptul că fiecare dintre cele patru manifestări este asociată cu areale geografice, climatice și socio-culturale diferite, ne încumetăm să afirmăm că leziunile de tip *caries sicca* sunt probabil asociate cu sifilisul veneric. La aceasta contribuie și faptul că pinta este singura dintre treponematoze care nu produce un răspuns la nivel scheletic. Pianul (framboesia) afectează în special populațiile din areale umede (tropicale sau subtropicale), în timp ce sifilisul endemic este prezent numai în regiuni temperate și cu umiditate scăzută (subtropicale)²⁵. Sifilisul are trei stadii principale (primar, secundar și terțiar), iar, conform unui model de secvențiere a leziunilor²⁶, regiunea frontală infectată a individului din M.7 ne indică gradele 6–8²⁷, caracterizate prin cavități serpiginoase (neregulate, sinuoase), nodulare și morfologii propriu-zise de tip *caries sicca*, numite și gome sifilitice. Așadar, individul prezintă un stadiu terțiar al bolii²⁸, sifilis tardiv, cel mai grav, care poate să apară și după 10 sau chiar 30 de ani de la infecția inițială.

Asociate cu acestea, considerăm că sunt și alte morfologii inflamatorii, atât de la nivelul craniului (porozități pe occipital, endocranian și pe aripa mică a sfenoidului), cât și din segmentul postcranian (leziuni litice, hipertrofice și sclerotice de pe articulațiile coatelor, spina scapulară stângă și tuberozitatea ischiatică stângă)²⁹. Din nefericire, lipsesc resturile scheletice ale membrilor inferioare, cu excepția unor fragmente din extremitățile proximale femurale. Acestea

¹⁶ Din păcate, cele mai multe sunt încă nepublicate. Pentru o imagine de ansamblu asupra cercetărilor arheologice la bisericile din Târgoviște, vezi Diaconescu 2009.

¹⁷ Vasile 2023.

¹⁸ Petrică et alii 2025, p. 365–369, fig. 3-4.

¹⁹ Houghton 1974. Sulcusul preauricular, pe lângă faptul că reprezintă un marker important în determinarea sexului antropologic al unui individ (Karsten 2017), poate constitui, prin morfologia lui, și un indicator al numărului de nașteri al unei femei, putând identifica, astfel, femei nulipare (care nu au avut nicio naștere) și multipare (care au avut două sau mai multe nașteri).

²⁰ Perine et alii 1984.

²¹ Frangos et alii 2011.

²² Fitzgerald 1981.

²³ Mikita et alii 2025.

²⁴ Keșu et alii 2012.

²⁵ Ortner 2003; Aufderheide, Rodriguez-Martin 1998.

²⁶ Hackett 1976.

²⁷ Lipsște o parte din substanța osoasă de la acest nivel, motiv pentru care nu am putut atribui un scor mai exact.

²⁸ De altfel, în acest ultim stadiu se dezvoltă și sunt vizibile leziuni osoase, care apar numai la persoanele care au supraviețuit suficient de mult pentru ca boala să progreseze până la stadiul terțiar.

²⁹ Szczepanek et alii 2019; Schwarz 2009.

ar fi putut să aducă informații în plus cu privire la răspândirea bolii la nivelul întregului schelet. Este foarte posibil ca maladia să îi fi produs moartea individului, în lipsa unui tratament adecvat³⁰.

Pentru perioada Evului Mediu de pe actualul teritoriu al României astfel de manifestări nu sunt singulare. În literatura bioarheologică au fost documentate, *in extenso*, în urma unor cercetări de dată recentă, câteva cazuri de sifilis veneric. Acestea au fost consemnate în cimitirul medieval târziu/modern timpuriu „Sfântul Sava” din București (șapte indivizi)³¹ și în cimitirul din secolele XV–XIX al Catedralei Romano-Catolice „Adormirea Maicii Domnului” din Iași (trei indivizi)³². Se remarcă faptul că această boală este prezentă în mediul urban, la comunități din foste sau actuale capitale românești.

O altă manifestare întâlnită la individul din M.7, enigmatică cel puțin prin prisma agentului etiologic care o produce, este una cu substrat metabolic, cunoscută în literatura de specialitate sub denumirea de osteodistrofie biparietală. Macroscopic este exprimată prin subțierea simetrică a oaselor parietale; pentru individul analizat, aceasta a fost surprinsă pe o suprafață de peste 50 mm în diametru, bilateral. Deși nu am putut să o punem în valoare cu ajutorul tehnicilor de imagistică (CT) sau prin transiluminarea craniului³³ (acesta nu este complet, lipsesc părți din squame, în special din porțiunea bazală), prin simpla palpăre este suficient să ne dăm seama de subțirimea pereților cranieni în aria parietală cuprinsă între suturile lambdaide, sectoarele suturale S3–S4 ale sagitalei și bosele parietale.

Cele mai multe cazuri de osteodistrofie biparietală au fost descrise în literatura medicală/clinică, în timp ce studiile bioarheologice sunt mai rare. În spațiul actual al României, osteodistrofia biparietală a fost consemnată exclusiv la indivizi de sex feminin, din categoria adulților maturi: unul din cimitirul medio-bizantin din secolele XI–XIII de la Noviodunum–Isaccea, *Așezare Civilă Est* (jud. Tulcea)³⁴, unul din cimitirul medieval-modern din secolele XVII–XX de la Răchiteni (jud. Iași)³⁵ și unul din cimitirul medieval-modern din secolele XVIII–XIX de la Gherăseni (jud. Buzău)³⁶.

În continuare, vom prezenta, succint, câteva caracteristici mai importante ale osteodistrofiei biparietale, așa cum reies din recentul studiu, întreprins de noi, asupra individului de la Noviodunum–Isaccea³⁷. Așa cum precizăm, etiologia acesteia este considerată a fi incertă: este complet necunoscută, reprezintă o variantă anatomică, o anomalie, este pusă pe seama unor patologii sau este asociată cu factori extrinseci. Din punct de vedere clinic, osteodistrofia biparietală nu are o semnificație patologică, cu excepția potențialului crescut de fracturi. Histopatologic, s-a constatat o lipsă de osteoclaste în zonele afectate, astfel că subțierea parietală este mai degrabă relaționată cu o rată scăzută a formării de țesut osos nou decât cu un grad ridicat de distrugere osoasă. Osteodistrofia biparietală afectează în general femeile, iar cel mai adesea a fost semnalată la vârste înaintate, fiind o manifestare progresivă, lentă. În clinica actuală, tratamentul cu alendronat, administrat timp de un an unor pacienți cu vârste înaintate, a condus la creșterea metabolismului mineral osos.

Printre condițiile patologice asociate cu subțierea biparietală se numără traumatisme, tumori primare și metastatice, boala Gorham-Stout, hiperparatiroidism, boli granulomatoase, diabet zaharat, osteomieliță, mastocitoză sistemică, necroză aseptică, terapie prelungită cu steroizi, anevrism osos, angiomatoză chistică a osului, reacții inflamatorii, atrofie senilă, osteoporoză post-menopauză, insuficiență gonadală, modificări hormonale etc.). Sifilisul este menționat și el ca un factor potențial asociat cu aceasta³⁸. Prin urmare, în lipsa unor studii mai aprofundate, nu este exclus ca sifilisul să fi cauzat osteodistrofia biparietală.

La individul din M.45, un copil aflat la granița dintre prima și a doua copilărie, ne atrag atenția mai multe modificări osoase. Unele dintre acestea, întâlnite la nivelul coloanei vertebrale, sunt considerate ca fiind foramene bazivertebrale anterioare mărite, caracteristice copiilor, așa cum este și cazul nostru, unde au fost identificate pe cinci corpuri vertebrale toracale, cinci lombare și pe corpul primei vertebre sacrale. De obicei, pe măsură ce copilul crește, aceste canale vasculare mărite se micșorează în dimensiune, iar ocazional persistă până în adolescență, fiind întâlnite rareori la adulți și nu sunt considerate patologice³⁹.

Alți autori consideră că aceste leziuni resorptive reprezintă hipervascularizații ce caracterizează fie stadiile primare ale brucelozei⁴⁰, fie sunt asociate cu tuberculoza (deși nu sunt specifice acesteia, așa cum este spondilita tuberculoasă

³⁰ Până la începutul erei antibioticelor, marcată de tratamentul mult mai sigur și eficient cu penicilină, se utiliza aplicarea unui unguent mercurial în zonele cu leziuni și, adițional, inhalarea vaporilor de mercur, care, deși atenuau simptomele, aveau și efecte secundare severe cauzate de otrăvirea cu mercur (sulfură de mercur, denumită și cinabru) (Kępa *et alii* 2012, p. 369).

³¹ Radu *et alii* 2015.

³² Groza *et alii* 2025; Ciropac-Petraru *et alii* 2023; Groza *et alii* 2020.

³³ Surachotmongkhon *et alii* 2017.

³⁴ Vasile 2022.

³⁵ Simalcsik *et alii* 2025a, p. 164–165, nota 201, Pl. XV.

³⁶ Simalcsik *et alii* 2025b, sub tipar.

³⁷ Vasile 2022.

³⁸ Pallua *et alii* 2024; Rossetti *et alii* 2024.

³⁹ Barnes 2012, p. 103–104.

⁴⁰ Aufderheide, Rodriguez-Martin 1998, p. 192–193.

sau morbul lui Pott)⁴¹, ori cu malarie⁴². În cazul individului din M.45, nu este exclusă atribuirea diagnosticului de malarie, dacă ținem cont de faptul că au fost observate și leziuni active de tip *cribra orbitalia*, pe plafonul orbitelor, unii cercetători dovedind o asociere între acestea și infecția cu malarie⁴³, boală cauzată de protozoarele parazite din genul *Plasmodium*. Pentru acordarea diagnosticului de tuberculoză⁴⁴ sau de bruceleză⁴⁵, stă dovadă și formarea de os nou, subperiostal, vizibil la nivelul corpurilor vertebrale, precum și pe mici suprafețe de pe diafizele femurale, tibiale și peroneale.

Dacă la acest tablou patologic mai adăugăm și o serie de leziuni endocraniene, descrise și denumite *serpens endocrania symmetrica*⁴⁶ și atribuite de mai mulți autori⁴⁷ leptomeningitei (meningita tuberculoasă), înclinăm să conferim individului din M.45 diagnosticul de tuberculoză.

Din păcate, nici în acest caz nu am putut efectua analize arheogenetice, cu ajutorul cărora să punem în evidență ADN-ul agenților patogeni antici. Având în vedere faptul că modificările patologice observate se regăsesc în cel puțin două dintre cele trei condiții patologice descrise, nu excludem posibilitatea ca individul din M.7 să fi suferit de o dublă infecție și, în consecință, aceasta să fi reprezentat cauza morții acestuia.

BIBLIOGRAFIE

- Aufderheide, Rodriguez-Martin 1998 – A. C. Aufderheide, C. Rodriguez-Martin, *The Cambridge encyclopedia of human paleopathology*, Cambridge, Cambridgeshire, UK, 1998.
- Baker et alii 2021 – J. O. Baker, B. Chamel, O. Dutour, *New Paleopathological Evidence of Tuberculosis in Child Skeletal Remains from Tell Aswad (8,730-8,290 cal. BC, southern Syria)*, *Paléorient* 47(1), p. 97–108.
- Barnes 2012 – E. Barnes, *Atlas of developmental field anomalies of the human skeleton: a paleopathology perspective*, Wiley-Blackwell, Hoboken, NJ, USA, 2012, <https://doi.org/10.1002/9781118430699>.
- Bove et alii 2024 – L. C. Bove, C. L. Kirkpatrick, A. Virgil-Escalera Guirado, M. C. Botella López, K. I. Bos, *A morphological and molecular approach to investigating infectious disease in early medieval Iberia: The necropolis of La Olmeda (Palencia, Spain)*, *AJBA* 185(1), 2024, e24994, <https://doi.org/10.1002/ajpa.24994>.
- Bräuer 1988 – G. Bräuer, *Osteometrie*, în: R. Knussmann (ed.), *Anthropologie. Handbuch der vergleichenden Biologie des Menschen*, Stuttgart, 1988, p. 160–232.
- Buikstra, Ubelaker 1994 – J. E. Buikstra, D. H. Ubelaker, *Standards for data collection from human skeletal remains: proceedings of a seminar at the Field Museum of Natural History, organized by Jonathan Haas*, Arkansas Archeological Survey, Fayetteville, AR, USA, 1994.
- Ciorpac-Petraru et alii 2023 – O.-M. Ciorpac-Petraru, M. Popovici, A.-N. Neagu, V.-M. Groza, L. Bejenaru, *Palaeohistological analysis of bone lesions suggestive for treponematoses, identified in human skeleton of 15th–19th centuries from Iași (Romania)*, în: *Bioarchaeology of girlhood, maidenhood, and motherhood in past societies. Reconstructing women's life-history through morphology, histology, and biogeochemistry* (section 688, poster C), 29th EAA Annual Meeting, 30th August–2nd September, Belfast, Northern Ireland, abstract book, p. 1059–1060.
- Diaconescu 2009 – P. V. Diaconescu, *Arheologia habitatului urban târgoviștean. Secolele XIV–XVIII*, Târgoviște, 2009.
- Facchini, Veschi 2004 – F. Facchini, S. Veschi, *Age Determination on Long Bones in a Skeletal Subadults Sample (b-12 Years)*, *Collegium Anthropologicum* 28(1), 2004, p. 89–98.
- Ferembach et alii 1980 – D. Ferembach, I. Schwidetsky, M. Stloukal, *Recommendations for Age and Sex Diagnoses of Skeletons*, *JHE* 9(7), 1980, p. 517–549, [https://doi.org/10.1016/0047-2484\(80\)90061-5](https://doi.org/10.1016/0047-2484(80)90061-5).
- Fitzgerald 1981 – F. Fitzgerald, *The Great Imitator, Syphilis*, *Western Journal of Medicine* 134, 1981, p. 424–432.
- Frangos et alii 2011 – C. C. Frangos, G. M. Lavranos, C. C. Frangos, *Higoumenakis' sign in the diagnosis of congenital syphilis in anthropological specimens*, *Medical Hypotheses* 77(1), 2011, p. 128–131, <https://doi.org/10.1016/j.mehy.2011.03.044>.
- Galińska, Zagórski 2013 – E. M. Galińska, J. Zagórski, *Brucellosis in humans – etiology, diagnostics, clinical forms*, *Annals of Agricultural and Environmental Medicine* 20(2), 2013, p. 233–238.
- Gowland, Western 2012 – R. L. Gowland, A. G. Western, *Morbidity in the Marshes: Using Spatial Epidemiology to Investigate Skeletal Evidence for Malaria in Anglo-Saxon England (AD 410–1050)*, *AJPA* 147(2), 2012, p. 301–311, <https://doi.org/10.1002/ajpa.21648>.
- Groza et alii 2025 – V. M. Groza, M. Popovici, O.-M. Ciorpac-Petraru, L. Bejenaru, *Dovezi ale treponematozei în populația Iașului din secolele XV–XIX*, Sesiunea anuală de comunicări științifice antropologice și biomedicale, Zilele Academice Ieșene, ediția a XL-a, Centrul de Cercetări Antropologice și Biomedicale „Olga Necrasov”, Iași, 17 octombrie, volum de rezumate, p. 16–17.
- Groza et alii 2020 – V. M. Groza, M. Popovici, L. Bejenaru, O. M. Petraru, *Preliminary study of human skeleton with syphilis discovered in the postmedieval city of Iași (Romania)*, *RAASI* 2, 2020, p. 319–328.
- Hackett 1976 – C. J. Hackett, *Diagnostic Criteria of Syphilis, Yaws and Treponarid (Treponematoses) and of Some Other Diseases in Dry Bones For Use in Osteo-Archaeology*, Berlin, 1976.
- Hauser, De Stefano 1989 – G. Hauser, G. F. De Stefano, *Epigenetic Variants of the Human Skull*, Schweizerbart, Stuttgart, 1989.

⁴¹ Mariotti et alii 2015.

⁴² Bove et alii 2024.

⁴³ Smith-Guzmán 2015; Gowland, Western 2012.

⁴⁴ Boală infecțioasă cronică, cauzată de una dintre speciile din complexul primar *Mycobacterium: M. bovis* este legat de tuberculoza transmisă la om prin produsele bovinelor, în principal lapte contaminat, în timp ce *M. tuberculosis* este responsabil de transmiterea directă a tuberculozei între oameni prin inhalarea picăturilor respiratorii emise de persoanele infectate (Ortner 2003, p. 227).

⁴⁵ Boală bacteriană infecțioasă cronică, produsă de bacterii din genul *Brucella*; la om, boala mai este denumită și febră malteză, boala lui Bang, febră undulantă sau febră mediteraneană (Galińska, Zagórski 2013).

⁴⁶ Hershkovitz et alii 2002.

⁴⁷ Baker et alii 2021.

- Hershkovitz *et alii* 2002 – I. Hershkovitz, S. Wish-Baratz, C. M. Greenwald, V. Eshed, B. Latimer, O. Dutour, L. M. Jellema, B. M. Rothschild, *Serpens Endocrania Symmetrica (SES): A New Term and a Possible Clue for Identifying Intrathoracic Disease in Skeletal Populations*, *AJPA* 118(3), 2002, p. 201–216, <https://doi.org/10.1002/ajpa.10077>.
- Houghton 1974 – P. Houghton, *The Relationship of the Pre-auricular Groove of the Ilium to Pregnancy*, *AJPA* 41(3), 1974, p. 381–389, <https://doi.org/10.1002/ajpa.1330410305>.
- Karsten 2017 – J. K. Karsten, *A test of the preauricular sulcus as an indicator of sex*, *AJPA* 165(3), 2017, p. 604–608, <https://doi.org/10.1002/ajpa.23372>.
- Keşpa *et alii* 2012 – M. Keşpa, T. Kozłowski, K. Szostek, A. Drozd, S. Walas, H. Mrowiec, B. Stepańczyk, H. Głab, M. Grupa, *Analysis of mercury levels in historical bone material from syphilitic subjects – pilot studies (short report)*, *AA* 69(3), 2012, p. 367–377, [10.1127/0003-5548/2012/0163](https://doi.org/10.1127/0003-5548/2012/0163).
- Langley-Shirley, Jantz 2010 – N. L. Shirley, R. L. Jantz, *A Bayesian Approach to Age Estimation in Modern Americans from the Clavicle*, *JFS* 55(3), 2010, p. 571–583, <https://doi.org/10.1111/j.1556-4029.2010.01089.x>.
- Mann *et alii* 2016 – R. W. Mann, D. R. Hunt, S. Lozanoff, *Photographic Regional Atlas of Non-Metric Traits and Anatomical Variants in the Human Skeleton*, Springfield, IL, USA, 2016.
- Mariotti *et alii* 2007 – V. Mariotti, F. Facchini, M. B. Belcastro, *The Study of Entheses: Proposal of a Standardised Scoring Method for Twenty-Three Entheses of the Postcranial Skeleton*, *Collegium Anthropologicum* 31(1), 2007, p. 291–313.
- Mariotti *et alii* 2015 – V. Mariotti, M. Zuppello, M. E. Pedrosi, M. Bettuzzi, R. Brancaccio, E. Peccenini, M. P. Morigi, M. G. Belcastro, *Skeletal Evidence of Tuberculosis in a Modern Identified Human Skeletal Collection (Certosa Cemetery, Bologna, Italy)*, *AJPA* 157(3), 2015, p. 389–401, <https://doi.org/10.1002/ajpa.22727>.
- Martin 1928 – R. Martin, *Lehrbuch der Anthropologie in systematischer Darstellung mit: besonderer Berücksichtigung der anthropologischen Methoden; für Studierende, Ärzte und Forschungsreisende, band II (Kranilogie, Osteologie)*, Jena, 1928, p. 579–1182.
- Meindl, Lovejoy 1985 – R. S. Meindl, C. O. Lovejoy, *Ectocranial Suture Closure: A Revised Method for the Determination of Skeletal Age at Death Based on the Lateral-Anterior Sutures*, *AJPA* 68(1), 1985, p. 57–66, <https://doi.org/10.1002/ajpa.1330680106>.
- Mikita *et alii* 2025 – G. Mikita, M. J. Lizoń, J. Gaşiorowska, M. M. Hanypsiak, J. Falana, M. Mazurek, O. W. Pioterek, K. Wolak, J. Grzelak, D. Domagała, D. Nowakowski, P. Dąbrowski, *Diagnostic Methods Used in Detecting Syphilis in Paleopathological Research—A Literature Review*, *Diagnostics* 15(9), 2025, 1116, <https://doi.org/10.3390/diagnostics15091116>.
- Ortner 2003 – D. J. Ortner, *Identification of Pathological Conditions in Human Skeletal Remains*, 2nd ed., San Diego, CA, USA, 2003, <https://doi.org/10.1016/B978-0-12-528628-2.X5037-6>.
- Pallua *et alii* 2024 – A. P. Pallua, J. D. Pallua, W. Streif, H. Spiegel, R. Arora, M. Schirmer, C. Halder, *Long-Term Comparison of Two- and Three-Dimensional Computed Tomography Analyses of Cranial Bone Defects in Severe Parietal Thinning*, *Diagnostics* 14(4), 2024, p. 446, <https://doi.org/10.3390/diagnostics14040446>.
- Perine *et alii* 1984 – P. L. Perine, D. R. Hopkins, P. L. A. Niemei, R. K. St. John, G. Causse, G. M. Antal, *Handbook of Endemic Treponematoses: Yaws, Endemic Syphilis and Pinta*, World Health Organization, Geneva, 1984, <https://iris.who.int/handle/10665/37178>.
- Petrică *et alii* 2025 – F. G. Petrică, M. Cărciumaru, O. Cirstina, A. Ioniță, *Observații asupra a două morminte descoperite în necropola bisericii „Sfânta Vineri” de la Curtea Domnească din Târgoviște*, *MCA*, Supplemetum III, București, 2025, p. 363–371.
- Radu *et alii* 2015 – C. Radu, L. Andreica, M. Constantinescu, A. Soficaru, *Multiple Cases with Probable Treponemal Infection from 16th to 19th Centuries Romania*, *IJO* 26(4), 2015, p. 563–573, <https://doi.org/10.1002/oa.2444>.
- Rossetti *et alii* 2024 – N. Rossetti, R. Fusco, A. Vanni, F. Garanzini, A. Mazzucchi, M. Licata, *Anatomical alterations: biparietal thinning in antiquity. Review of published cases and a new case*, *Anthropological Review* 87(4), 2024, p. 117–133, <https://doi.org/10.18778/1898-6773.87.4.08>.
- Rösing *et alii* 2007 – F. W. Rösing, M. Graw, B. Marré, S. Ritz-Timme, M. A. Rothschild, K. Röttscher, A. Schmelting, I. Schröder, G. Geserick, *Recommendations for the forensic diagnosis of sex and age from skeletons*, *HOMO* 58(1), 2007, p. 75–89, <https://doi.org/10.1016/j.jchb.2005.07.002>.
- Ruff *et alii* 2012 – C. B. Ruff, B. M. Holt, M. Niskanen, V. Sladěk, M. Berner, E. Garofalo, H. M. Garvin, M. Hora, H. Maijanen, S. Niinimäki, K. Salo, E. Schuplerová, D. Tompkins, *Stature and Body Mass Estimation From Skeletal Remains in the European Holocene*, *AJPA* 148(4), 2012, p. 601–617, <https://doi.org/10.1002/ajpa.22087>.
- Simalcsik *et alii* 2025a – A. Simalcsik, R. D. Simalcsik, C. G. Fedor, *Răchiteni – cercetări de antropologie fizică și socială*, în: G. D. Hânceanu, A. Simalcsik, R. D. Simalcsik, A. Baltag, C. G. Fedor, *Cimitirul vechii Biserici Catolice „Sfântul Anton de Padova” de la Răchiteni. Rezultatele săpăturilor arheologice de „salvare” din anii 1999–2000*, Brăila–Piatra Neamț, 2025, p. 117–242.
- Simalcsik *et alii* 2025b – A. Simalcsik, D. Garvăn, R. Cefalan, *Biparietal Osteodystrophy: An Archaeological, Morphometric, and Palaeopathological Insight into a Mediaeval-Modern Case from Romania*, *RAASI* 7, 2025, sub tipar.
- Scott *et alii* 2018 – G. R. Scott, C. G. Turner II, G. C. Townsend, M. Martínón-Torres, *Description and Classification of Permanent Crown and Root Traits*, în: G. R. Scott, C. G. Turner II, G. C. Townsend, M. Martínón-Torres, *The Anthropology of Modern Human Teeth: Dental Morphology and its Variation in Recent and Fossil Homo Sapiens*, 2nd ed., Cambridgeshire, UK, 2018, p. 13–65, <https://doi.org/10.1017/9781316795859.004>.
- Schwarz 2009 – S. Schwarz, *Syphilis in Medieval and Early Post-Medieval Denmark – An Osteological Analysis*, A thesis submitted in partial fulfilment of the requirements for the Degree of Master of Science in Biological Anthropology at the University of Southern Denmark, Odense 2009.
- Smith-Guzmán 2015 – N. E. Smith-Guzmán, *Cribră orbitalia in the ancient Nile Valley and its connection to malaria*, *IJP* 10, 2015, p. 1–12, <https://doi.org/10.1016/j.ijpp.2015.03.001>.
- Surachotmongkhon *et alii* 2017 – N. Surachotmongkhon, N. Techataweewan, R. W. Mann, *Endocranial illuminator: A technique for transilluminating the skull*, *FSI* 280, 2017, p. 153–155, <https://doi.org/10.1016/j.forsciint.2017.09.021>.
- Scheuer *et alii* 2004 – L. Scheuer, S. Black, H. Liversidge, A. Christie, *The Juvenile Skeleton*, San Diego, CA, USA, 2004.
- Szczepanek *et alii* 2019 – A. Szczepanek, J. Walocha, P. Kochan, *Cases of late syphilis documented at the cemetery of noblemen residents of the Knights of the Holy Sepulchre poorhouse (XVII–XVIII centuries) on Stradom in Cracow, Poland*, *World Journal of Medical Images, Videos and Cases* 5, 2019, p. 26–52.
- Turner II *et alii* 1991 – G. C. Turner II, C. R. Nichol, G. R. Scott, *Scoring Procedures for Key Morphological Traits of the Permanent Dentition: The Arizona State University Dental Anthropology System*, în: M. A. Kelley, C. S. Larsen (eds.), *Advances in Dental Anthropology*, New York, NY, USA, 1991, p. 13–31.
- Ubelaker 1978 – D. H. Ubelaker, *Human Skeletal Remains: Excavation, Analysis, Interpretation*, Chicago, IL, USA, 1978.
- Vasile 2022 – G. Vasile, *Osteodistrofia biparietală – o manifestare neobișnuită. Asupra unui schelet medieval de pe teritoriul României*, *RAASI* 4, 2022, p. 319–339.
- Vasile 2023 – G. Vasile, *A new medieval cemetery discovered at Târgoviște (Dâmbovița County, Romania). Bioarchaeological characteristics*, *MCA* 19, 2023, p. 155–176, <https://doi.org/10.3406/mcarh.2023.2306>.
- Visser 1998 – E. P. Visser, *Little Waifs: Estimating Child Body Size from Historic Skeletal Material*, *IJO* 8(6), 1998, p. 413–423, [https://doi.org/10.1002/\(SICI\)1099-1212\(199811/12\)8:6<413::AID-OA430>3.0.CO;2-2](https://doi.org/10.1002/(SICI)1099-1212(199811/12)8:6<413::AID-OA430>3.0.CO;2-2).

ABREVIERI / ABRÉVIATIONS / ABBREVIATIONS

- AA – Archäologischer Anzeiger. Deutsches Archäologisches Institut, Darmstadt, München, Tübingen–Berlin
(A)ARMSI – Analele Academiei Române. Memoriile Secțiunii Istorice, București
ACD – Acta Classica Universitatis Scientiarum Debrecenensis, Debrecen
ActaArchHung – Acta Archaeologica Academiae Scientiarum Hungaricae, Budapest
ActaHistArt – Acta historiae artium Academiae scientiarum Hungaricae, Akadémiai Kiadó, Budapesta
ActaMN – Acta Musei Napocensis, Cluj-Napoca
ActaMP – Acta Musei Porolissensis, Zalău
AÉ – L'Année épigraphique, Paris.
AIIA Iași – Anuarul Institutului de Istorie și Arheologie „A. D. Xenopol”, Iași
AIIC – Anuarul Institutului de Istorie „George Barițiu”, Cluj
AJBA – American Journal of Biological Anthropology
AJPA – American Journal of Physical Anthropology
AK – Archaeologiai Közlemények, Pest
AnSt – Anatolian Studies, British Institute of Ankara
AnUCDC – Analele Universității Creștine „Dimitrie Cantemir”
AnUVT – Annales d'Université « Valahia » Târgoviște, Section d'Archéologie et d'Histoire
AO – Arhivele Olteniei, Craiova
ArchBulg – Archaeologia Bulgarica, Sofia
ArchÉrt – Archaeológiai Értesítő, Budapest
Argesis – Argesis. Muzeul Județean Argeș. Pitești
ArhMed – Arheologia Medievală
ArhMold – Arheologia Moldovei, Iași
AȘUI – Analele Științifice ale Universității „Alexandru Ioan Cuza”, Iași
Az Érem – Az Érem kiadványai, Budapest
Banatica – Banatica. Muzeul Banatului Montan, Reșița
BARBrSer – British Archaeological Reports. British Series, Oxford
BARIntSer – British Archaeological Reports. International Series, Oxford
BCMI – Buletinul Comisiunii Monumentelor Istorice
BerRGK – Bericht der Romisch-Germanische Kommission des Deutschen Archäologischen Instituts, Frankfurt am Main
BibIstroPontica-P – Biblioteca Istro-Pontica. Seria Patrimoniu, Tulcea
BJ – Bonner Jahrbücher – Bonner Jahrbücher des Rheinischen Landesmuseums in Bonn, Bonn
BMC – *Coins of the Roman Empire in the British Museum*, Londra: I, *Augustus to Vitellius*, 1923; II, *Vespasian to Domitian*, 1930; III, *Nerva to Hadrian*, 1936; IV, *Antoninus Pius to Commodus*, 1968; V, *Pertinax to Elagabalus*, 1950 (H. Mattingly); VI, *Severus Alexander to Balbinus and Pupienus*, 1962 (R.A.G. Carson).
BMI – Buletinul Monumentelor Istorice, București
BMJT – Buletinul Muzeului Județean Teleorman, Alexandria
BSNR – Buletinul Societății Numismatice Române, București
Buridava – Buridava. Studii și materiale, Muzeul Județean „Aurelian Sacerdoțeanu”, Râmnicu Vâlcea
CA – Cercetări Arheologice. Muzeul Național de Istorie a României, București
Caiete ARA – Caiete ARA. Asociația Arhitectură, restaurare, arheologie, București
Carpica – Carpica. Complexul Muzeal „Iulian Antonescu” Bacău
CCA – Cronica Cercetărilor Arheologice din România
CEpR – Cronica Epigrafică a României
CercIst – Cercetări Istorice, Iași
CICSA – Centrul de Istorie Comparată a Societăților Antice, Facultatea de Istorie, Universitatea din București
CIL – *Corpus Inscriptionum Latinarum*, I–XVII, Berlin
CN – Cercetări Numismatice. Muzeul Național de Istorie a României, București
CNM, V.1 – *Corpus Nummorum Moldaviae*, vol. V.1, Chișinău
CRAI – Académie des inscriptions et belles-lettres. Comptes rendus des séances de l'année ...
Crisia – Crisia. Muzeul Țării Crișurilor, Oradea

- Dacia – Dacia / Dacia Nouvelle Série. Revue d'archéologie et d'histoire ancienne. Académie Roumaine. Institut d'archéologie « V. Pârvan », Bucarest
- Danubius – Danubius. Revista Muzeului de Istorie Galați
- DHA – Dialogues d'histoire ancienne, Institut des Sciences et Techniques de l'Antiquité
- Documenta Praehistorica – Documenta Praehistorica, University of Ljubljana, Faculty of Arts, Department of Archaeology, Ljubljana
- EphemDac – Ephemeris Dacoromana, Roma
- EphemNap – Ephemeris Napocensis, Cluj-Napoca
- ERSIR – *Enciclopedia reprezentanților scrisului istoric românesc*, I – V, V. Spinei, D. N. Rusu (coord.), Suceava, 2021
- FolArch – Folia Archaeologica. A Magyar Nemzeti Múzeum Évkönyve. Annales Musei Nationalis Hungarici, Budapest
- Fontes I – *Fontes Historiae Daco-Romanae – Izvoarele istoriei României*, I, București, 1964
- Fontes II – *Fontes Historiae Daco-Romanae – Izvoarele istoriei României*, II, București, 1970
- FSI – Forensic Science International
- Glasnik – Glasnik. Srpsko Arheološko Društvo (Journal of the Serbian Archaeological Society), Belgrad
- Hierasus – Hierasus. Muzeul Județean Buzău
- HOMO – HOMO. Journal of Comparative Human Biology, Stuttgart
- Ialomița – Ialomița. Studii de cercetări de arheologie, istorie, etnografie și muzeologie, Slobozia
- IDRE – C. C. Petolescu, *Inscriptiones Daciae Romanae. Inscriptiones externae – Inscriptions externes concernant l'histoire de la Dacie*, I-II, București, 1996-2000
- IGB – G. Mihailov, *Inscriptiones graecae in Bulgaria repertae*, vol. I-V, Sofia, 1956-1970
- IGLR – E. Popescu, *Inscripțiile grecești și latine din secolele IV–XIII descoperite în România*, București, 1976
- IGRR – *Inscriptiones Graecae ad Res Romanas pertinentes*, publiées par R. Cagnat, J. Toutain, G. Lafaye, Paris, 1906-1927
- IJP – International Journal of Paleopathology
- ISM – *Inscriptiones Daciae et Scythiae Minoris antiquae. Series altera: Inscriptiones Scythiae Minoris Graecae et Latinae – Inscriptiile din Sythia Minor*: I. *Inscriptiones Histriae et vicinia – Histria și împrejurimile* (Dionisie M. Pippidi), București, 1983; II. *Tomis et territorium – Tomis și teritoriul său* (Iorgu Stoian), București, 1987; III. *Callatis et territorium – Callatis et son territoire* (Alexandru Avram), București – Paris, 1999; IV. *Tropaeum – Durostorum – Axiopolis* (Emilian Popescu), București – Paris, 2015 ; V. *Capidava – Troesmis – Noviodunum* (Emilia Doruțiu-Boilă), București, 1980; VI.2. *Supplementa 2. Tomis et territorium – Tomis et son territoire* (Alexandru Avram, Maria Bărbulescu, Livia Buzoianu), București – Paris, 2018
- Istros – Istros. Muzeul Brăilei „Ferdinand I”, Brăila
- IzvestijaVarna – Izvestija na Narodnija Muzej (Izvestija na Varnenskoto Arheologičesko Družestvo), Varna
- JAHA – Journal of Ancient History and Archaeology, Cluj-Napoca
- JAS – Journal of Archaeological Science, Amsterdam
- JAT – Journal of Ancient Topography
- JFS – Journal of Forensic Studies
- JITE – Journal of Institutional and Theoretical Economics
- JHE – Journal of Human Evolution
- LRBC – *Late Roman Bronze Coinage A.D. 394-498*, Londra, 1965: I, *The Bronze Coinage of the House of Constantine A.D. 324–346* (P. V. Hill, J. P. C. Kent); II, *Bronze Roman Imperial Coinage of the Later Empire A.D. 346–498* (R. A. G. Carson, J. P. C. Kent).
- MarNero – Il Mar Nero. Annali di archeologia e storia, Roma
- MemAnt – Memoria Antiquitatis, Piatra Neamț
- Marmatia – Marmatia. Muzeul Județean de Istorie și Arheologie Maramureș, Baia Mare
- MCA – Materiale și Cercetări Arheologice, București
- MCSEE – Monedă și comerț în Sud-Estul Europei, Sibiu
- MEFRM – Mélanges de l'École française de Rome. Moyen Âge, Rome
- MER – *Catalogue des monnaies de l'Empire romain*. II. J.-B. Giard, *De Tibère à Néron*, Paris, 1988 ; III. J.-B. Giard, *Du soulèvement de 68 après J.-C. à Nerva*, Paris-Strasbourg, 1998
- MFMÉ-SA – A Móra Ferenc Múzeum Évkönyve – Studia Archaeologica, Szeged
- MIR – *Moneta Imperii Romani*. 14. B. Woytek, *Die Reichsprägung des Kaisers Traianus (98–117)*, I–II, Wien, 2010; 18. W. Szaivert, *Die Münzprägung der Kaiser Marcus Aurelius, Lucius Verus und Commodus (161–192)*, Wien, 1986.
- Mousaios – Mousaios. Buletinul Științific al Muzeului Județean Buzău
- MuzNaț – Muzeul Național, Muzeul Național de Istorie a României, București
- Numizmatičar – Numizmatičar. Casopis za anticki i stari jugoslovenski novac, Belgrad

- Numizmatikai Közlöny – Numizmatikai Közlöny. A Magyar Numizmatikai Társulat, Akadémiai Klado, Budapest
- NZ – Numismatische Zeitschrift, Viena
- Oltenia – Oltenia. Studii și Comunicări, Craiova
- Paléorient – Paléorient: revue interdisciplinaire de préhistoire et de protohistoire du sud-ouest et de l'Asie centrale, Paris
- PBF – Prähistorische Bronze Funde, München – Stuttgart
- Peuce – Peuce. Studii și cercetări de istorie și arheologie, Institutul de Cercetări Eco-Muzeale „Gavrilă Simion”, Tulcea
- PME – H. Devijver, *Prosopographia militiarum equestrium quae fuerunt ab Augusto ad Gallienum*, Leuven, I (A–I, 1976), II (I–V, 1977), III (1980; indici)
- Pontica – Pontica. Studii și materiale de istorie, arheologie și muzeografie, Muzeul de Istorie Națională și Arheologie, Constanța
- Przegląd Archaeologiczny – Przegląd Archaeologiczny, Institut Archeologii i Etnologii Polskiej Akademii Nauk, Wrocław
- PZ – Prähistorische Zeitschrift, Institut für Prähistorische Archäologie, Berlin
- RAASI – Revista de Arheologie, Antropologie și Studii Interdisciplinare, Institutul de Cercetări Bioarheologice și Etnoculturale, Republica Moldova
- RAN – Repertoriul Arheologic Național / National Archaeological Repository
- RCAN – Revista de Cercetări Arheologice și Numismatice, București
- RESEE – Revue des Études Sud-Est Européennes. Academia Română. Institutul de Studii Sud-Est Europeene, București
- RevArh – Revista Arheologică, Chișinău
- RGZM – Barbara Pferdehirt, *Römische Militärdiplome und Entlassungsurkunden in der Sammlung des Römisch-Germanischen Zentralmuseums*, Mainz, I-II, 2004
- RI – Revista Istorică. Institutul de Istorie „Nicolae Iorga”, București
- RIC – *The Roman Imperial Coinage*, Londra: I², *From 31 BC to AD 69*, 1984 (C. H. V. Sutherland); II, *Vespasian to Hadrian*, 1926 (H. Mattingly, E.A. Sydenham); II.1, *From AD 69–96. Vespasian to Domitian*, 2007 (I. A. Carradice, T.V. Buttrey); II.3, *From AD 117–138. Hadrian*, 2019 (R.A. Abdy, P.F. Mittag); III, *Antoninus Pius to Commodus*, 1930; IV.1, *Pertinax to Geta*, 1968 (H. Mattingly, E.A. Sydenham); IV.2, *Macrinus to Pupienus*, 1938; IV.3, *Gordian III – Uranian Antoninus*, 1949 (H. Mattingly, E. A. Sydenham, C. H. V. Sutherland); V.1, 1927 (reimprimat 1968; P. H. Webb); VII, *Constantine and Licinius A.D. 313–337*, 1966 (P.M. Bruun); VIII, *The Family of Constantine I A.D. 337–364*, 1981; X, *The Divided Empire and the Fall of the Western Parts A.D. 395–491*, 1994 (J.P.C. Kent)
- RMD – Margaret M. Roxan, *Roman Military Diplomas*, London: I. *Roman Military Diplomas 1954–1977*, 1978; II. *Roman Military Diplomas 1978–1984*, 1985; III. *Roman Military Diplomas 1985–1993*, 1994; Margaret M. Roxan, P. Holder, *Roman Military Diplomas IV*, 2003; P. Holder, *Roman Military Diplomas V*, 2006
- RMM-MIA – Revista Muzeelor și Monumentelor – Monumente Istorice și de Artă, București
- Romanoslavica – Romanoslavica. Asociația Slaviștilor din România, București
- RPC – *Roman Provincial Coinage*, Oxford (https://rpc.ashmus.ox.ac.uk/search/map?volume_id=)
- RPC, VII.2 – *Roman Provincial Coinage. VII.2. From Gordian I to Gordian III (AD 238–244): all provinces except Asia*, Londra/Paris, 2022 (J. Mairat, M. Spoerri Butcher, cu contribuția M. Amandry, R. Bland, K. Butcher, J. Nurpetlian, U. Peter).
- RRH – Revue Roumaine d'Histoire, Bucarest
- SAA – Studia Antiqua et Archaeologica, Iași
- SCIA.AP – Studii și Cercetări de Istoria Artei. Seria Artă Plastică
- SCIV(A) – Studii și Cercetări de Istorie Veche (și Arheologie), București
- SCN – Studii și Cercetări de Numismatică, București
- SHA – *Scriptores Historiae Augustae*, Teubner, Leipzig, 1965
- Simpozion Chișinău 2003 – *Simpozion de numismatică dedicat Centenarului Societății Numismatice Române (1903–2003)*, Chișinău, 26–28 noiembrie 2003, București, 2005.
- SMIM – Studii și Materiale de Istorie Medie. Institutul de Istorie „Nicolae Iorga”, București
- SMMIM – Studii și Materiale de Muzeografie și Istorie Militară, București
- SNGCop 2 – *Sylloge Nummorum Graecorum. The Royal Collection of Coins and Medals, Danish Royal National Museum*, Copenhaga, 1942–1969 (serie reeditată); II, *Thrace and Macedonia*, West Milford, 1982.
- SP – Studii de Preistorie, București
- StCl – Studii Clasice, București
- StratumPlus – Stratum Plus, Școala Superioară de Antropologie, Chișinău, St Petersburg, București
- Suceava – Suceava. Anuarul Muzeului Național al Bucovinei, Suceava
- SympThrac – Symposia Thracologica, București
- Syria – Syria. Archéologie, art et histoire. Institut Français du Proche-Orient
- TdE – Trabajos de Egiptología. Papers on Ancient Egypt, Universidad de La Laguna, Tenerife, Spania

Th-D – Thraco-Dacica, București

Tyragetia – Tyragetia. Anuarul Muzeului Național de Istorie a Moldovei, Chișinău

VAH – Varia Archaeologica Hungarica V. Redigit Csanád Bálint. Publicationes Instituti Archaeologici Academiae Scientiarum Hungaricae, Budapest

Valachica – Valachica. Studii și cercetări de istorie și istoria culturii, Complexul Muzeal Național „Curtea Domnească”, Târgoviște

ZPE – Zeitschrift für Papyrologie und Epigraphik, Bonn

ZRVI – Zbornik radova Vizantološkog instituta. The Institute for Byzantine Studies. Serbian Academy of Sciences and Arts, Belgrad